

## Chaîne de Markov:

Une chaîne de Markov est un processus  $\{X_t : t \in \mathbb{N}\}$  tel que:

$$P(X_{t+1} \in A \mid X_t = x_t, X_{t-1} = x_{t-1}, \dots, X_0 = x_0) = P(X_{t+1} \in A \mid X_t = x_t)$$

On dira que la chaîne est homogène si:

$$P(X_{t+1} \in A \mid X_t = x) \quad (1)$$

ne dépend pas de  $t$ .

Exmp: La marche aléatoire  $\{X_t : t \in \mathbb{N}\}$  définie par  $X_0 \sim \nu$  et  $X_{t+1} = X_t + \varepsilon_{t+1}$ ,  $t \in \mathbb{N}$  avec  $\varepsilon_1, \varepsilon_2, \dots \stackrel{i.i.d.}{\sim} \mathcal{N}(0, \sigma^2)$ .

Def: Un noyau de transition sur  $(\Omega, \mathcal{A})$  est une application  $K: \Omega \times \mathcal{A} \rightarrow \mathbb{R}$  telle que

- \* Pour tout  $A \in \mathcal{A}$ ,  $x \mapsto K(x, A)$  est mesurable
- \* Pour tout  $x \in \Omega$ ,  $A \mapsto K(x, A)$  est une mesure de probabilité sur  $(\Omega, \mathcal{A})$ .

Rmq: On dira alors que la chaîne homogène (1) a pour noyau de transition  $P$  où  $P(x, A) = P(X_{t+1} \in A \mid X_t = x)$ ,  $x \in \Omega, A \in \mathcal{A}$ .

Exmp: Pour la marche aléatoire normale, on a

$$P(x, A) = \int_A \frac{1}{\sqrt{2\pi}\sigma} \exp\left\{-\frac{(y-x)^2}{2\sigma^2}\right\} dy.$$

Rmq: On utilisera souvent l'abus de notation

$P(x, y)$  pour  $x, y \in \Omega$ , de sorte que

$$P(x, A) = \int_A P(x, y) dy.$$

Intuition:  $P(x, A)$  est la probabilité d'adhérer en  $A$  sachant que je suis en  $x$ .

Notations: Soit  $\{X_t : t \in \mathbb{N}\}$  une chaîne de Markov homogène de transition  $P$  et loi initiale  $\nu$ . On notera:

\*  $P_\nu$  la loi de  $\{X_t : t \in \mathbb{N}\}$

\*  $\nu P^k$  la loi de  $X_k$  pour tout  $k \in \mathbb{N}$ , i.e.,

$$\forall A \in \mathcal{A}, \nu P^k(A) = P(X_k \in A) = \int \nu(dx_0) P(x_0, dx_1) \dots P(x_{k-1}, A)$$

$$* P^k(x, A) = P(X_k \in A \mid X_0 = x)$$

Objectif MCMC: Simuler selon une loi de probabilité donnée  $\pi$ .

Moyen: Construire une chaîne de Markov qui va "approcher"  $\pi$  au sens de la variation totale, i.e.,

$$\| \nu P^t - \pi \|_{VT} := \sup_{A \in \mathcal{A}} | \nu P^t(A) - \pi(A) | \longrightarrow 0, \quad t \rightarrow \infty.$$

Def: \* Un noyau de transition  $P$  est  $\pi$ -invariant si

$$\int P(x, A) \pi(dx) = \pi(A), \quad \forall A \in \mathcal{A}$$

\*  $\pi$ -irréductible si:

pour tout  $x \in \Omega$  et  $A \in \mathcal{A}$  tq  $\pi(A) > 0$ ,  $\exists k \in \mathbb{N}$  tel que  $P^k(x, A) > 0$ .

\* et périodique de période

$p \geq 2$  s'il existe une partition  $\Omega_1, \dots, \Omega_p$  de  $\Omega$  tq. pour tout  $x \in \Omega_i$ ,  $P(x, \Omega_{i+1[p]}) = 1$ , pour tout  $i \in \mathbb{N}$ .

Rmq: Si la période vaut  $p = 1$ , on dira que la chaîne est apériodique.

## Intuition:

- \* L'irréductibilité assure que partant de n'importe quel point  $x \in \Omega$  on peut arriver n'importe où dans  $\Omega$  via la transition  $P$ . le temps peut être long cela dit...
- \* L'apériodicité permet éviter la présence de cycles lorsque la chaîne parcourt un long trajet. Évite les versions aléatoires de  $a_n = (-1)^n$ ,  $n \in \mathbb{N}$ .

Thm: Si  $\{X_t : t \in \mathbb{N}\}$  est une chaîne irréductible de transition  $P$  et de loi invariante  $\pi$ , alors

$$\frac{1}{T} \sum_{t=1}^T g(X_t) \rightarrow \int g(u) \pi(du), \quad T \rightarrow \infty$$

où  $g$  est une fonction  $\pi$ -intégrable et ceci est vrai pour tout  $X_0$   $\pi$ -p.p.

Thm: Si de plus la chaîne est apériodique alors

$$\|P^h(X_0, \cdot) - \pi(\cdot)\|_{TV} \rightarrow 0, \quad h \rightarrow \infty$$

pour tout  $X_0$   $\pi$ -p.p.

## Harris récurrence:

Les conditions pour les 2 thm précédents sont assez faciles à vérifier sachant que  $\pi$  est  $P$ .

Pbm: Bien plus <sup>difficile</sup> de s'assurer que  $X_0$  est dans une région où la densité  $\pi$  est  $> 0$ .

Def: Une ~~noyau de transition~~ chaîne de Markov est Harris récurrencte si pour tout  $x \in \Omega$

$$P(X_k \in A \text{ infinisent souvent} \mid X_0 = x) = 1.$$

Thm: Les 2 thm précédents sont vrais pour tout  $X_0 \in \Omega$  si la chaîne est Harris récurrencte.

## Soyons concret !!!

Les résultats précédents ne servent à rien si l'on ne sait pas construire une chaîne de Markov vérifiant ces conditions.

C'est l'objectif des méthodes MCMC, produire des méthodes génériques pour obtenir de telles chaînes de Markov.

## Metropolis - Hastings :

L'idée est d'utiliser un noyau de transition  $\Pi$ -réversible, i.e.,

$$\pi(x) P(x, y) = \pi(y) P(y, x) \quad \forall x, y \in \Omega.$$

Req: La  $\Pi$ -réversibilité est facile à obtenir et implique la  $\Pi$ -invariance puisque

$$\pi P(B) = \int_{\Omega} P(x, B) \pi(dx) \stackrel{\text{inv}}{=} \int_B P(x, \Omega) \pi(dx) = \pi(B).$$

---

## Algo: Metropolis - Hastings

I:  $N$  longueur chaîne, <sup>noyau de proposition</sup> ~~noyau transition~~  $q(\cdot, \cdot)$  et état initial  $x_0$ , loi cible  $\pi$ .

Out: Une chaîne de Markov  $\{X_t : t \in \mathbb{N}\}$  de loi invariante  $\pi$ .

0)  $t \leftarrow 0$

1) Générer candidat  $X_* \sim P(x_t, \cdot)$

2) Accepter  $X_*$ , i.e.,  $X_{t+1} \leftarrow X_*$  avec proba

$$a(x_t, x_*) = \min \left\{ 1, \frac{\pi(x_*) q(x_*, x_t)}{\pi(x_t) q(x_t, x_*)} \right\}$$

si on accepte  $x_*$ , i.e.,  $X_{t+1} \leftarrow x_*$

3) Revenir en 1 et incrémenter  $t$ , i.e.,  $t \leftarrow t+1$

---

⚠ Noyau de proposi<sup>o</sup>  $\neq$  noyau de transi<sup>o</sup>

En effet le noyau de transi<sup>o</sup> de la chaîne est

$$P(x, y) = q(x, y) \alpha(x, y) + \int \left( 1 - \int q(x, z) \alpha(x, z) dz \right) \mathbb{1}_{\{x=y\}}$$

Et c'est bien  $\pi$ -réversible comme conséquence de

$$\begin{aligned} \pi(x) q(x, y) \alpha(x, y) &= \pi(x) \int \pi(w) q(x, y), \pi(y) q(y, x) \} \\ &= \pi(y) q(y, x) \pi(x) \int \frac{\pi(w) q(x, y)}{\pi(y) q(y, x)}, 1 \} \\ &= \pi(y) q(y, x) \alpha(y, x) \end{aligned}$$

Quelques noyaux de transition :

- \*  $\pi$ -H. indépendant  $q(x, y) = q(y) \rightarrow$  pas très utile
- \* marche aléatoire  $q(x, y) = q(x+y)$ ,  $q$  selon une loi symétrique
- \* marche aléatoire sur le log,  $\frac{q(x, x)}{q(x, y)} = \frac{x}{y} \rightarrow$  utile si on se balade sur  $\mathbb{R}^+$

(8)  
Exmp: Faire un  $\pi$ -H. pour la loi cible  $N(0,1)$   
et où le noyau de proposition est celui d'une  
marche aléatoire avec inova<sup>o</sup> gaussiennes.

↳ à voir: impact valeur initiale, impact taille des inova<sup>o</sup>

Exmp: Faire un  $\pi$ -H pour la loi cible  $LN(0,1)$  avec  
une transi<sup>o</sup> de  $N(0,1)$  et d'une marche aléatoire sur  
le log.

↳ à voir: impact choix loi de proposition.

Représenter  $\{X_t, X_{t+m} : t \in \mathbb{N}\}$  par parle de la  
dépendance. Introduire l'ACF. Parler de l'amincissement  
d'une chaîne ("thinning").



## Echantillonneur de Gibbs:

(9)

Cas particulier de M-H.

Bonne option pour simuler selon une loi cible multivariée, ie, vivant dans  $\mathbb{R}^d$ ,  $d \geq 2$ .

Exmp: Simuler selon une  $N(\mu, \Sigma)$ .

Algo:

$$X_0 = (X_{1,0}, \dots, X_{d,0})$$

In: Etat initial,  $N$  longueur de la chaîne, loi cible  $\pi$ .

Out: Chaîne de Markov & loi stationnaire  $\pi$ .

0  $t \leftarrow 0$

1) Pour  $j=1, \dots, d$  faire

$$2) \quad \left| \begin{array}{l} X_{j,t} \sim \pi(\cdot | X_{-j,t}) \quad \text{ou} \quad X_{-j,t} = \{ X_{s,t} : s \neq j \} \end{array} \right.$$

3) Poser  $X_{t+1} \leftarrow X_t$

4) Faire  $t \leftarrow t+1$  et revenir à 1).

Rmq: Le taux d'acceptation de candidat est toujours  $= 1$  !!!

Le noyau de transition pour la  $j$ -ème composante est

$$P_j(x, y) = \pi(y_j | x_{-j}) \mathbb{1}_{\{x_{-j} = y_{-j}\}}, \quad j=1, \dots, d.$$

Exmp: Échantillonneur de Gibbs pour la loi cible  $N(0, \Sigma)$  où  $\Sigma = \begin{pmatrix} 1 & \rho \\ \rho & 1 \end{pmatrix}$ ,  $-1 < \rho < 1$ . (10)

$$\text{Rappel: } f(x, y) = \frac{1}{(2\pi)^{d/2}} |\Sigma|^{-1/2} \exp\left\{-\frac{1}{2} (x, y) \Sigma^{-1} \begin{pmatrix} x \\ y \end{pmatrix}\right\}$$
$$= \frac{1}{2\pi} (1-\rho^2)^{-1/2} \exp\left(-\frac{x^2 + y^2 - 2\rho xy}{2(1-\rho^2)}\right)$$

↳ à voir calcul de  $f(x|y)$  et de  $\exp f(y|x)$ .

## Modèles graphiques:

Pourquoi?? Supposer que les v.a. sont des ind. est clairement trop restrictif en pratique.

Essayer de considérer n'importe quelle forme de dépendance est trop ambitieux.

→ compromis

Principe: S'inspirer de l'hypothèse de dépendance Markovienne mais la "mettre" entre les variables.

Idée: Représenter les v.a. au sein d'un graphe pour lequel les noeuds représentent les v.a. et les arêtes la dépendance.

Soit  $\mathcal{J} = \{1, \dots, n\}$  un ensemble fini de noeuds représentant les variables aléatoires  $X_1, \dots, X_n$ .

Notation: Pour  $A \subset \mathcal{J}$ ,  $X_A = \{X_i : i \in A\}$ ,  $X_{-A} = \{X_i : i \notin A\}$   
et  $X_i = X_{\{i\}}$  et  $X_{-i} = X_{\mathcal{J} \setminus \{i\}}$ .

Def: On appelle système de voisinage la "collection" d'ensembles  $\mathcal{N} = \{N_j : j \in \mathcal{J}\}$  où les ensembles  $N_j$  est le voisinage du noeud  $j$ .

Def:  $N_s$  est le voisinage de noeud  $s$  si  $N_s \subset \gamma$  h.q. (19)

$s \notin N_s$  et  $i \in N_s \Leftrightarrow s \in N_i$

$\Rightarrow$  on appellera alors  $(\gamma, N)$  un modèle graphique.

Def: On appelle graphe acyclique orienté un modèle graphique représentant une structure de dépendance hiérarchique.

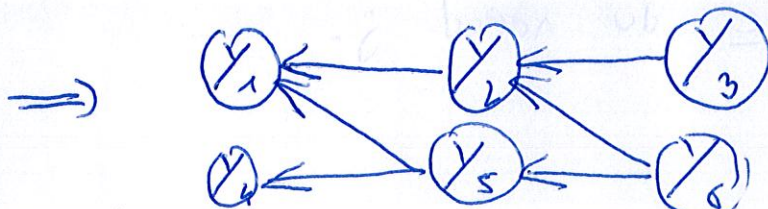
La dépendance de  $X_1$  par rapport à  $X_2$  est alors représentée par une flèche partant du noeud parent  $X_2$  et pointant vers le noeud descendant  $X_1$ .

On dira que  $X_1$  est un descendant de  $X_3$  s'il y a une "chaîne" de flèches liant  $X_3$  à  $X_1$ .

Req: \* C'est un graphe orienté car nous avons des flèches et pas des arcs.

\* C'est un graphe acyclique car on ne peut pas à suivre les flèches partir de  $X_1$  et revenir à  $X_1$ .

Exmp:  $f(\gamma) = f(X_1 | X_2, X_5) f(X_2 | X_3, X_6) f(X_3) f(X_4 | X_5) f(X_5 | X_6) f(X_6)$



Ppté (admix): Pour tout DAG on a

$$f(y) = \prod_{j \in \mathcal{Y}} f(y_j | \text{parents de } y_j)$$

En conséquence

$$f(y_i | y_{-i}) = \frac{f(y)}{\int f(y) dy_i} \propto \prod_{j \in \mathcal{Y}} f(y_j | \text{parents de } y_j)$$

$$\propto f(y_i | \text{parents de } y_i) \prod_{\substack{j: y_j \text{ fils} \\ \text{de } y_i}} f(y_j | \text{parents de } y_j)$$

Exmp: Ligue 1 2014/2015

$N_{iS}^{(d)}$ : nb buts équipe  $i$  devant à domicile contre équipe  $S$ .

$N_{iS}^{(e)}$ : extérieur

Modèle:  $N_{iS}^{(d)} \sim \text{Poisson}(d_{iS}^{(d)})$

$N_{iS}^{(e)} \sim \text{Poisson}(d_{iS}^{(e)})$

avec  $d_{iS}^{(d)} = \beta_0^{(d)} + \beta_i - \beta_S \leftarrow \text{perf. eq. } S$

$\uparrow$  effet domicile       $\uparrow$  perf. eq.  $i$

$d_{iS}^{(e)} = \beta_0^{(e)} + \beta_S - \beta_i$

$\beta_1, \dots, \beta_{20} \stackrel{iid}{\sim} \mathcal{N}(\mu, \sigma^2)$  ← variables liées Ligue 1

$\uparrow$  perf. moy. Ligue 1

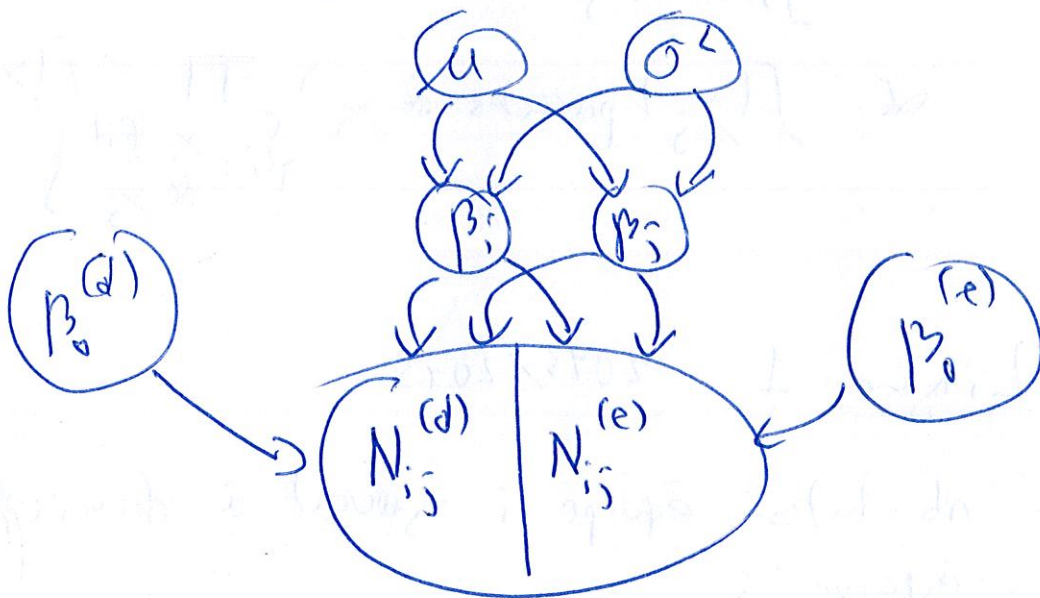
Loi a priori

$$\beta_0^{(d)}, \beta_0^{(e)} \sim \mathcal{N}(0, 16) \leftarrow \text{très plat}$$

$$\mu \sim \mathcal{N}(0, 16) \leftarrow \text{très plat.}$$

$$\sigma^2 \sim \mathcal{U}(0, 5) \leftarrow$$

On a donc le DAG suivant



$$\begin{aligned} \pi(\beta_i | \dots) &\propto \prod_{j \neq i} \pi(N_{i,j}^{(d)} | \beta_0^{(d)}, \beta_i, \beta_j) \times \\ &\quad \prod_{j \neq i} \pi(N_{i,j}^{(e)} | \beta_0^{(e)}, \beta_i, \beta_j) \times \\ &\quad \pi(\beta_i | \mu, \sigma^2) \end{aligned}$$

$$\pi(\beta_i^{(d)} | \dots) \propto \prod_{j \neq i} \pi(N_{i,j}^{(d)} | \beta_i, \beta_j, \beta_0^{(d)}) \pi(\beta_i^{(d)})$$

$$\pi(\beta_i^{(e)} | \dots) \propto \prod_{j \neq i} \pi(N_{i,j}^{(e)} | \beta_i, \beta_j, \beta_0^{(e)}) \pi(\beta_i^{(e)})$$

$$\pi(\mu | \dots) \propto \prod_{i=1}^{20} \pi(\beta_i | \mu, \sigma^2) \pi(\mu)$$

$$\pi(\sigma^2 | \dots) \propto \prod_{i=1}^{20} \pi(\beta_i | \mu, \sigma^2) \pi(\sigma^2)$$